

SMD电感器(线圈)

一般信号用(绕组)

NLV系列 NLV25

特点

- 对于无铅化回流焊接条件，具有高度的耐热性。
- 终端镀层采用了无铅材料。
- 电气特性，可靠性，形状，焊盘形状与传统的NL系列相同。
- 采用金属终端，具有高度的连接可靠性。
- 外装成型树脂采用了具有高度耐热性的热可塑性树脂。
- 备有全部为J ($\pm 5\%$) 容差产品的0.01~100 μH 的E-12系列产品。
- 本产品引用RoHS指令的预定标准。

用途

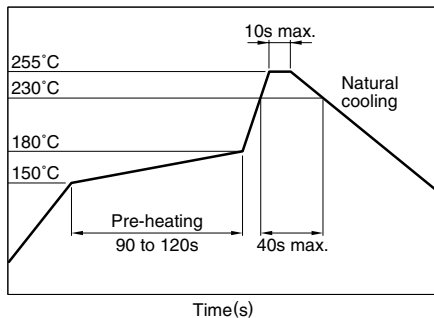
- 电视机,磁带录像机,数码照相机等AV设备
- xDSL, 手机基站等的通信基础电子设备
- 汽车音响, ECU等车载用电子设备
- 硬盘驱动器, 光盘驱动器, 其他各种电子设备

仕様

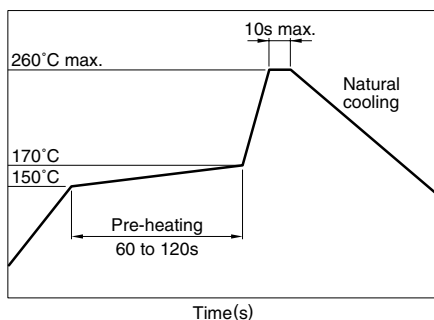
工作温度范围	-40 to +105°C [包括自身温度上升]
保存温度范围	-40 to +105°C

推荐焊接条件

回流焊接施工方法



喷流焊接条件



烙铁焊接施工方法

烙铁头温度	300~350°C
加热时间	3秒/次
烙铁条件	输出功率 30W, 烙铁头直径 1mm

· 在上述条件下, 以产品温度260°C(最大)/累计加热时间10秒(最大)为参考标准。
· 详情请向本公司咨询。

产品名称的识别法

NLV	25	T-	2R2	J	- PF
(1)	(2)	(3)	(4)	(5)	(6)

(1)系列名称

(2)尺寸

25	2.5×2.0×1.8mm(L×W×T)
----	----------------------

(3)包装形式

T	卷带(卷筒)
---	--------

(4)电感值

010	0.01 μH
R10	0.1 μH
1R0	1 μH
100	10 μH
101	100 μH

(5)电感容差

J	$\pm 5\%$
---	-----------

(6)无铅化

PF	无铅化产品
----	-------

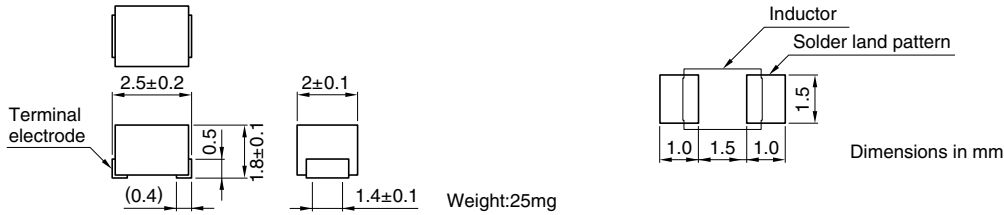
包装形式 / 包装个数

包装形式	个数
卷带	2000个/卷

● RoHS 指令的对应：表示除了依据 EU Directive 2002/95/EC 免除的用途之外，未使用铅、镉、汞、六价铬及特定溴系难燃剂 PBB、PBD 等。

· 记载内容，在没有予告的情况下有可能改进和变更，请予以谅解。

形状・尺寸／推荐印刷电路板图样



电气特性

电感 (μH)	电感容差	最小Q	L, Q测定频率 (MHz)	自共振频率 最小(MHz)	直流电阻 最大(Ω)	额定电流* 最大(mA)	品名
0.01	±5%	15	100	2150	0.26	530	NLV25T-010J-PF
0.012	±5%	15	100	2050	0.27	500	NLV25T-012J-PF
0.015	±5%	15	100	2000	0.29	480	NLV25T-015J-PF
0.018	±5%	15	100	1850	0.31	450	NLV25T-018J-PF
0.022	±5%	15	100	1650	0.37	420	NLV25T-022J-PF
0.027	±5%	15	100	1550	0.4	410	NLV25T-027J-PF
0.033	±5%	20	100	1450	0.42	400	NLV25T-033J-PF
0.039	±5%	20	100	1350	0.45	380	NLV25T-039J-PF
0.047	±5%	20	100	1200	0.5	360	NLV25T-047J-PF
0.056	±5%	20	100	1100	0.6	340	NLV25T-056J-PF
0.068	±5%	20	100	1050	0.65	320	NLV25T-068J-PF
0.082	±5%	20	100	900	0.75	300	NLV25T-082J-PF
0.1	±5%	20	100	800	0.8	280	NLV25T-R10J-PF
0.12	±5%	30	25.2	700	0.3	550	NLV25T-R12J-PF
0.15	±5%	30	25.2	550	0.35	500	NLV25T-R15J-PF
0.18	±5%	30	25.2	500	0.4	460	NLV25T-R18J-PF
0.22	±5%	30	25.2	450	0.5	430	NLV25T-R22J-PF
0.27	±5%	30	25.2	425	0.55	420	NLV25T-R27J-PF
0.33	±5%	30	25.2	400	0.6	400	NLV25T-R33J-PF
0.39	±5%	30	25.2	375	0.65	375	NLV25T-R39J-PF
0.47	±5%	30	25.2	350	0.68	350	NLV25T-R47J-PF
0.56	±5%	30	25.2	325	0.75	325	NLV25T-R56J-PF
0.68	±5%	30	25.2	300	0.85	300	NLV25T-R68J-PF
0.82	±5%	30	25.2	260	1	260	NLV25T-R82J-PF
1	±5%	30	7.96	245	1.1	245	NLV25T-1R0J-PF
1.2	±5%	30	7.96	230	1.2	230	NLV25T-1R2J-PF
1.5	±5%	30	7.96	182	1.3	220	NLV25T-1R5J-PF
1.8	±5%	30	7.96	135	1.45	210	NLV25T-1R8J-PF
2.2	±5%	30	7.96	105	1.55	200	NLV25T-2R2J-PF
2.7	±5%	30	7.96	70	1.7	195	NLV25T-2R7J-PF
3.3	±5%	30	7.96	55	1.9	185	NLV25T-3R3J-PF
3.9	±5%	30	7.96	48	2.1	180	NLV25T-3R9J-PF
4.7	±5%	30	7.96	43	2.3	175	NLV25T-4R7J-PF
5.6	±5%	25	7.96	42	2.5	170	NLV25T-5R6J-PF
6.8	±5%	25	7.96	39	2.7	165	NLV25T-6R8J-PF
8.2	±5%	25	7.96	36	3.05	160	NLV25T-8R2J-PF
10	±5%	25	2.52	33	3.5	155	NLV25T-100J-PF
12	±5%	25	2.52	30	3.8	150	NLV25T-120J-PF
15	±5%	25	2.52	26	4.4	140	NLV25T-150J-PF
18	±5%	25	2.52	24	4.8	130	NLV25T-180J-PF
22	±5%	25	2.52	22	5.5	125	NLV25T-220J-PF
27	±5%	25	2.52	21	6.3	115	NLV25T-270J-PF
33	±5%	25	2.52	20	7.1	110	NLV25T-330J-PF
39	±5%	20	2.52	18	9.5	90	NLV25T-390J-PF

* 额定电流:是指基于电感变化率时(比公称L值低10%)和基于温度上升时(因自身发热而温度上升20°C)两者中的较小值。

- 测定器 电感, Q: YHP4191A阻抗分析器(16092A) [$L \leq 0.1\mu\text{H}$]
YHP4194A阻抗分析器(16085A+16093B+TDK TF-1) [$L \geq 0.12\mu\text{H}$]
- 自共振频率: HP8753C网络分析器
- 直流电阻: MATSUSHITA VP-2941A 数字毫欧表

电气特性

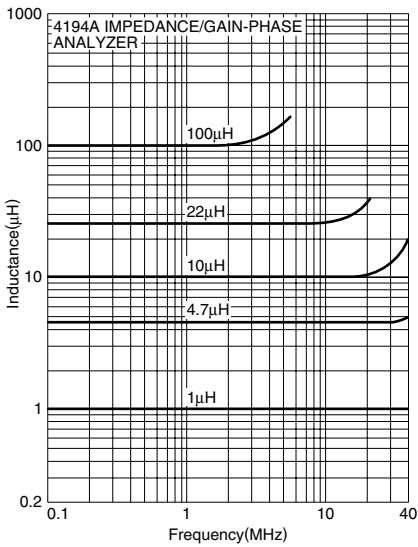
电感 (μH)	电感容差	最小Q	L, Q测定频率 (MHz)	自共振频率 最小(MHz)	直流电阻 最大(Ω)	额定电流* 最大(mA)	品名
47	±5%	20	2.52	17	11.1	80	NLV25T-470J-PF
56	±5%	20	2.52	16	12.1	75	NLV25T-560J-PF
68	±5%	20	2.52	15	16.6	70	NLV25T-680J-PF
82	±5%	20	2.52	13	19	66	NLV25T-820J-PF
100	±5%	15	0.796	12	21	60	NLV25T-101J-PF

* 额定电流:是指基于电感变化率时(比公称L值低10%)和基于温度上升时(因自身发热而温度上升20°C)两者中的较小值。

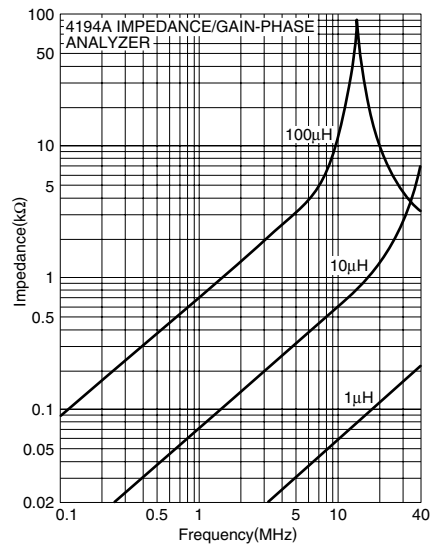
- 测定器 电感, Q: YHP4191A阻抗分析器 (16092A) [L ≤ 0.1μH]
YHP4194A阻抗分析器 (16085A+16093B+TDK TF-1) [L ≥ 0.12μH]
自共振频率: HP8753C网络分析器
直流电阻: MATSUSHITA VP-2941A 数字毫欧表

电气特性例

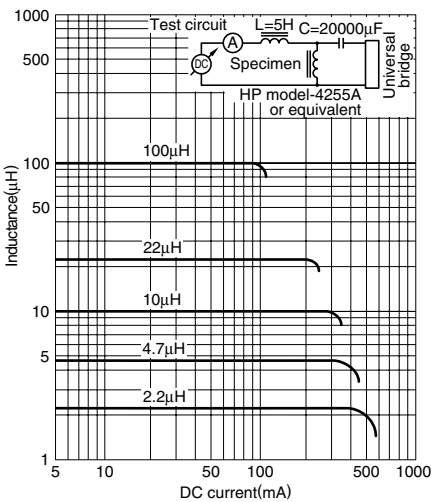
电感频率特性



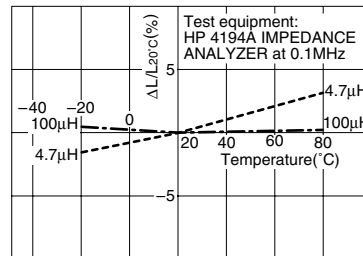
阻抗频率特性



电感直流重叠特性



电感温度特性



Q 频率特性

